

論文 2001-38TC-8-4

# 동적 버퍼관리 방식의 Dynamic GSMP V3의 구조와 하드웨어 구현

(Architecture and Hardware Implementation of Dynamic GSMP V3 with Dynamic Buffer Management Scheme)

金永哲, 李泰元, 金光玉

(Young-Chul Kim, Tae-Won Lee, and Kwang-Ok Kim)

## 요약

본 논문에서는 ATM 기반 MPLS 망에서 효율적으로 IP 서비스를 전송하기 위한 동적 버퍼관리 방식의 Dynamic GSMP V3(General Switching Management Protocol Version 3)를 구현하였으며, 하드웨어 모델링 구조를 제안하였다. 또한 현재 표준화중인 GSMP와 동적 버퍼관리 방식을 수용한 GSMP를 셀 손실률 측면에서 비교 분석하였다. ATM 스위치 상에 연결 제어의 성능 향상을 위해 스위치에서 연결설정 및 제어를 수행하는 Dynamic GSMP V3의 Slave 블록을 삼성 SoG 0.5 μm 공정으로 설계하였다. 기존의 방식과 제안한 방식의 성능 평가를 위해 확률 랜덤 변수에 의해 발생된 셀과 최소 버퍼 알고리즘을 이용하여 모의 실험을 하였으며, 이때 셀 손실률이 향상되었음을 알 수 있었다.

## Abstract

In this paper, the architecture of Dynamic GSMP V3(General Switch Management Protocol Version 3), an open interface protocol with resource management functions for efficient IP service on ATM over MPLS, is proposed and implemented in hardware. And we compare and analyze the proposed GSMP with the GSMP under standardization process in terms of CLR (Cell Loss Rate). We design the Slave block of the Dynamic GSMP V3 using SAM-SUNG SoG 0.5 μm process, which performs functions for switch connection control in the ATM Switch. In order to compare difference performances between the proposed method and the conventional one, we conduct simulations using the minimum buffer search algorithm with random cell generation. The exponential results show that the proposed method leads to performance enhancement in CLR.

## I. 서론

최근 인터넷 수요의 증가로 통신망에서 음성, 영상 및 데이터를 복합적으로 지원할 수 있는 멀티서비스의

\* 正會員, 全南大學校 電子工學科

(Dept. Electronic Eng., Chonnam Natil University)

※ 본 논문은 한국과학재단 지정 전남대학교 고품질전기전자부품 및 시스템 연구센터의 연구비 지원에 의해 연구되었음.

接受日字: 2001年2月8日, 수정완료일: 2001年6月29日

교환기술이 요구되고 있다. 특히 차세대 통신망인 MPLS(Multi-Protocol Label Switching) 망에서 ATM의 서비스 품질(Quality of Service)의 보장 및 트래픽 관리 능력을 이용하여 ATM 망에서 IP(Internet Protocol) 서비스를 효율적으로 제공하기 위해서는 개방형 구조의 인터페이스 구현이 필요하다.<sup>[1,2]</sup> 현재통신인프라는 하나의 서비스 제어 방식과 운용 방식의 틀로 멀티서비스를 수용하는 방식이므로, 서비스 별로 서로 상이한 서비스 제어 방식과 관리 방식의 특성을 그대로 반영할 수 없다. 그러나 개방형 멀티서비스의 교환 기술은 통신망 사업자들의 경쟁력 강화와 교환

장비 업체들의 이익 창출을 위한 것으로서 개방형이라는 개념과 멀티서비스 통합이라는 개념을 기반으로 하고 있는 것이 가장 큰 특징이다. 개방형 개념은 통신망 사업자로 하여금 가격 및 제품 경쟁력이 있는 여러 벤더들의 제품으로 망 구축을 가능하게 하며, 필요에 따라서 망 장비 일부 기능의 추가, 교체, 기능 향상을 가능하게 한다. GSMP 프로토콜은 1997년 Ipsilon사에서 개발한 개방형 구조의 범용 프로토콜로서, 스위치 레벨의 접속을 설정, 해제 및 관리하는데 사용된다. 개방형 멀티서비스 교환 시스템에서는 개방형 개념에 따라 스위치와 제어기 사이의 표준 인터페이스(GSMP, VSI)를 사용함으로서 스위치와 제어기의 독립적인 개발이 가능하도록 한다. 또한 최근 인터넷 사용자의 증가와 서비스의 다양화 그리고 이에 따른 고속 인터넷 액세스 기술의 도입은 인터넷 트래픽의 급격한 증가를 초래하고 있다. 이러한 인터넷 트래픽의 증가와 함께 새로운 서비스의 요구를 수용하기 위해서 현재의 인터넷을 확장한 새로운 인터넷 백본망을 구축할 필요성이 요구되어 IETF (Internet Engineering Task Force)와 ATM 포럼을 중심으로 MPLS라는 새로운 스위칭 기술을 개발 중에 있다. 현재 MPLS 기술 구현방법은 MPLS용의 라우터를 구현하는 패킷 MPLS와 ATM과 PPP를 이용하는 ATM MPLS를 구현하는 두 가지 방법으로 연구중이다.<sup>[3~6]</sup>

특히 ATM MPLS 구현을 위해 IETF에서는 기존 Overlay 모델에서 발생하는 주소 변환의 복잡함과 확장성을 고려하여 직접 ATM 스위치에 IP 서비스를 수용할 수 있는 "Ship in the night mode" 방식을 이용하여 QoS 보장형 인터넷 서비스를 제공할 수 있는 연구를 진행하고 있으며, ATM MPLS 라우터에서 IP 서비스와 ATM 서비스를 수용하기 위해 GSMP WG에서는 기존의 각 벤더들이 만든 GSMP 인터페이스를 표준화시키는 작업과 QoS와 여러 서비스를 수용하기 위한 구조를 연구 중에 있다. 현재 Ericsson, GDC/Revenant Networks, IEEE P1520, Nokia와 Columbia University에서 GSMP구현에 관해 연구 중에 있다. 특히 IEEE PIN(Programmable Interface for Network)과 MSF (Multiservice Switching Forum)를 중심으로 ATM 기반 MPLS 제어를 위해 표준 인터페이스인 GSMP를 사용하여 구현하는 것을 보편적인 것으로 받아들이고 있다.

국내에서는 정부 주도의 차세대 정보통신 사업의 일환으로 MPLS 방식을 채택 후 ETRI를 중심으로 각 기

업체에서 MPLS망에서 인터넷 서비스를 효율적으로 전송하기 위해 전달망의 핵심인 ATM 교환기를 통해 인터넷 서비스를 전달하기 위한 연구를 수행하고 있다. 또한 ATM 포트가 두 가지 서비스(IP, ATM)를 위해 지원(VCI/VPI, BandWidth, Buffer, Queue, etc)을 효율적으로 공유해야 하는데 현재 IETF GSMP WG에서는 qGSMP(GSMP with QoS Extensions)가 지원하는 버퍼관리 정책에 대한 고려가 되지 않아, 망 상황에 따라 버퍼의 사용 범위가 넘게 되면 서비스를 제공할 수 없어 문제점이 발생한다. 따라서 서비스를 효율적으로 수행하기 위해서는 동적 버퍼관리 기능이 요구된다. ATM 기반 MPLS 라우터에서 ATM 스위치에 PVC나 SVC와 같은 채널을 설정하고, 관리하는데 있어 소프트웨어 기반 GSMP는 프로세서에 상당한 로드가 발생하게 되므로 많은 Connection을 관리하는 경우 성능향상에 큰 장애가 될 수 있다. 따라서 본 논문에서는 프로세서의 부담을 줄일 수 있도록 하는 GSMP의 하드웨어 구조 및 구현에 초점이 맞추어져 있다. 또한 이러한 하드웨어를 개발하는데 있어 기존의 방식보다 셀 손실률을 개선할 수 있도록 먼저 버퍼관리 알고리즘을 적용하였다.

따라서 본 논문에서는 qGSMP에서 지원하는 임계치를 이용한 동적 버퍼관리 방식을 IETF에서 표준화중인 GSMP V3 프로토콜에 적용함으로서 IP측면이나 ATM 측면에서 버퍼를 효율적으로 사용할 수 있도록 표준화 동향에 맞게 시스템을 구현하였다. 버퍼 이용률을 Buffer Manager가 관리하여 특정 버퍼가 셀을 수용할 수 없을 때 dynamic signal을 이용하여 최소 버퍼 경로를 찾아 셀 전송을 함으로서 버퍼 이용률을 높이고, 셀 손실률을 개선할 수 있는 Dynamic GSMP V3 알고리즘을 제안하여 현재 표준화중인 방식과 비교 분석하였다. 또한 고속 인터페이스 기능 및 GSMP 성능 향상을 위해 Dynamic GSMP V3에 대한 하드웨어 구조를 제안하였다. 본 구조는 개방형 제어 구조를 통한 새로운 서비스 추가 시 기존의 제어 소프트웨어에 상관없이 수용이 가능하며, 최소 버퍼 경로 서치 알고리즘을 이용하여 셀 전송률을 높일 수 있다. 또한 IP 서비스에 대한 멀티캐스트 연결이 가능하고, 하드웨어 기반의 고속 패킷 전송이 가능하다.<sup>[7]</sup>

본 논문의 구성은 다음과 같다. II장에서는 MPLS 개요와 GSMP를 이용한 MPLS 방식에 대해서 설명하고, III장에서는 제안한 GSMP V3 알고리즘 및 특징을

설명하고, IV장에서는 C++를 이용한 Dynamic GSMP V3의 성능 평가를 위한 시뮬레이션 및 분석을 수행하였으며, 하드웨어 시뮬레이션 및 합성 결과를 고찰하였다. 마지막으로 V장에서는 결론을 내린다.

## II. MPLS 기술개요와 GSMP 알고리즘

### 1. MPLS 기술 개요

MPLS의 패킷 전송(Forwarding) 방식은 레이블 교체(Label Swapping) 전송방식이라고 할 수 있다. 입구 레이블 스위치 라우터에 패킷이 도착하게 되면, 패킷의 목적지 주소나 레이블 매핑 정책에 의하여 패킷에 레이블을 붙이게 된다. 이렇게 레이블이 붙여진 패킷은 다음 흡으로 전송되고 각 레이블 스위치 라우터에서는 패킷에 실려온 레이블을 index로 사용하여 다음 흡과 새로운 레이블을 결정하고 패킷의 레이블을 새로운 레이블로 교체한 후 다음 흡으로 전송하게 된다. 따라서 기존의 IP 라우팅 방식에서처럼 각 패킷의 목적지 주소에 따라 오랜 시간이 걸리는 테이블을 찾지 않아도 됨으로서 각 흡에서 패킷을 라우팅 하는데 걸리는 시간을 절약할 수 있다. 또한 ATM 망에서는 VPI/VCI 값은 레이블로 사용하기 때문에 IP 라우팅 판단을 위하여 필요한 각 라우터에서 ATM 셀을 재조립하여 IP 패킷으로 만들 필요가 없다. 따라서 MPLS를 사용하면 종단간 ATM 연결설정 절차 없이 ATM에서 높은 전송 처리율을 얻을 수 있다.<sup>[8]</sup>

### 2. ATM 기반 MPLS 구조 및 전송방식

ATM망을 이용한 인터넷 패킷 전송에 관한 연구는 오래 전부터 되어왔다. 1997년까지는 대용량 트래픽을 처리할 수 있는 라우터가 없었기 때문에 대규모 인터넷 사업자들은 ATM을 코어로 하여 라우터가 에지에 위치하는 형태의 인터넷 백본망을 구축해 왔다. ATM 기반의 인터넷 백본망은 에지 라우터간을 ATM VC(Virtual Channel)로 연결하며 각 VC를 통과하는 트래픽을 감시하고 대역폭 및 경로를 제어함으로서 최상의 망 성능을 발휘할 수 있도록 하는 트래픽 엔지니어링이 용이한 구조를 가지고 있다. 따라서 망 차원의 트래픽 감시가 용이하고 운용자 제어성이 뛰어나므로 라우터 기반의 백본망에 비해 최적의 망 성능을 발휘할 수 있는 망 환경을 제공해 준다. ATM 환경에서 MPLS 도메인의 다른 MPLS 도메인과 계층적 구조를

가지지 않으면 MPLS 도메인 내에 있는 LSR들은 3가지 경우에 대해 패킷을 포워딩 할 수 있다. 먼저 레이블이 붙은 패킷을 포워딩 할 수 있다.<sup>[9,10]</sup>

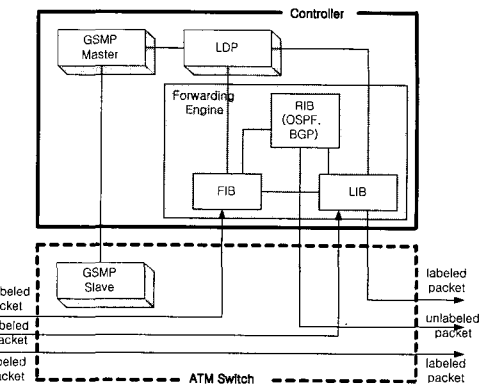


그림 1. ATM 환경에서 MPLS 라우터 구조  
Fig. 1. Structure of a router on ATM MPLS.

MPLS 도메인으로 들어오는 트래픽의 FEC를 분류한 후, 레이블을 트래픽에 추가시켜 포워딩 한다. MPLS 도메인을 떠나는 트래픽에 대해서는 포함된 레이블 정보를 제거하여 L3 패킷을 만든 후 포워딩 한다. 이런 능력을 가진 LSR 라우터의 모델은 그림 1과 같다. LSR은 크게 컨트롤러와 ATM 스위치로 구분된다. 컨트롤러는 LDP와 포워딩 엔진, GSMP로 구성되어 있으며 ATM 환경에서 레이블은 ATM 셀 헤더의 VPI/VCI 값으로 의미를 부여한다. 전송방식은 기존의 인터넷 프로토콜인 OSPF나 BGP를 이용해 이웃해 있는 라우터들의 정보를 RIB에 저장한 후 레이블이 없는 패킷이 MPLS 라우터에 입력되면 라우팅 프로토콜에 의해 설정된 FIB(Forwarding Information Base)를 참조해 포워딩을 해서 전송하거나 LIB를 이용해 다음 흡으로 가는 레이블을 붙여준다. 레이블이 붙은 패킷이 들어오면 레이블을 삭제하거나 다음 흡으로 가는 레이블을 교환하여 전송한다.

### 3. GSMP V3 프로토콜 구조

GSMP는 스위치 외부의 컨트롤러가 ATM 스위치를 제어할 수 있도록 하기 위한 범용 프로토콜이다. GSMP V3는 현재 IETF에서 마지막 표준화 작업을 진행하고 있는 프로토콜로서 GSMP v1.1이나 v2.0에서 지원되지 않는 QoS보장이 가능하며, 표준화가 완료 시 개방형 스위치 구조의 인터페이스로 적용된다. 기존의 ATM 스위치에서는 가장 채널의 설정과 해제를 위해

ATM 시그널링 프로토콜(Q.2931)을 이용하여 설정하였다. 하지만 MPLS에서는 LDP(Label Distribution Protocol)를 이용하여 ATM 환경에서의 레이블인 VPI/VCI를 부여하고 분배하게 되며 이렇게 할당된 VPI/VCI를 이용하여 ATM 스위치내의 GSMP를 이용해서 가상 채널을 설정하고 해제한다.<sup>[11]</sup>

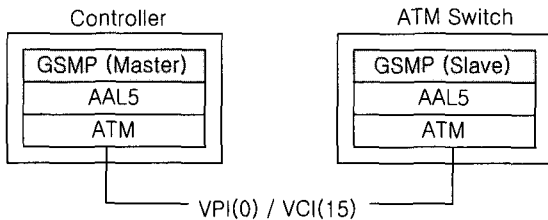


그림 2. GSMP 기본 프로토콜 구조

Fig. 2. Protocol architecture of the GSMP..

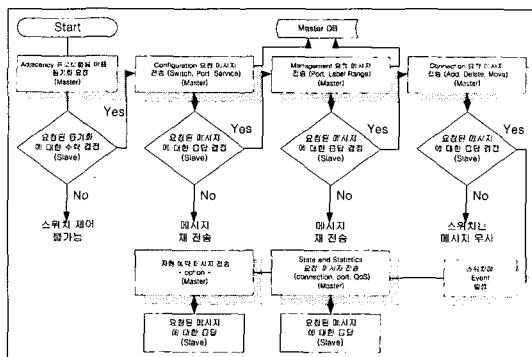


그림 3. GSMP V3의 동작 개요도

Fig. 3. Flow diagram of the GSMP V3.

GSMP 프로토콜은 제어기가 마스터(Master)로, 스위치가 슬레이브(Slave)로 동작하는 비대칭형 프로토콜이다. GSMP V3는 제어기가 스위치를 통해 연결을 설립, 해제와 멀티캐스트 연결에서 추가 및 삭제, 스위치 포트 관리, Configuration 정보 요청, Statistics 정보를 요청하게 한다. 또한 스위치는 링크 going down 같은 비동기 적인 event들을 controller에게 알린다. 그래서 제어기는 항상 스위치에 요구 메시지를 보내게 된다. GSMP의 구조는 그림 2와 같다. 하나의 제어기는 여러 스위치를 제어할 수 있고, 또한 하나의 스위치는 partitioning(분할) 기법을 이용해 하나 이상의 제어기에 의해 제어될 수 있다. MPLS 라우터에서 GSMP 프로토콜은 제어부와 스위치부 사이에서 동작한다. GSMP

를 이용하면 교환 시스템의 제어부와 스위치부는 상호 독립적인 개발이 가능하게 되어, 개방형 멀티서비스 교환 시스템을 구축할 수 있다. 하나의 스위치는 다수의 레이블 탑재를 지원한다. 주어진 포트에 의해 지원된 레이블 탑재은 포트 구성 메시지에서 스위치에 의해 controller에 나타내어진다.

레이블 탑재은 ATM, Frame Relay, MPLS Generic Label를 포함한다. GSMP V3는 point-to-point와 point-to-multipoint 연결을 지원한다. GSMP V3는 디폴트 QoS 구성과 추가적으로 다른 방법의 협정과 optional QoS 구성을 허가한다. GSMP 기본 동작개요도는 그림 3과 같다.

### III. Dynamic GSMP V3 알고리즘 구조

GSMP V3의 프로토콜은 Master/Slave 구조로 이루어져 있다. Master는 스위치상의 채널 설정 및 해제, 스위치 관리 등을 수행하도록 3계층의 정보를 이용해 명령하고, Slave는 Master의 요청 정보를 스위치 상에 구현한다. 현재 표준화중인 GSMP V3에는 QoS 파라미터를 이용하여, 채널을 설정할 수 있지만, qGSMP에서 지원되었던 버퍼 관리 알고리즘에 대한 정보는 지원하지 않는다. 따라서 버퍼 상태에 따른 QoS 및 채널설정을 지원할 수가 없다. 그러므로 본 논문에서는 이러한 버퍼관리 알고리즘을 이용해 버퍼 상태에 따라 채널 재설정 기능을 수행하도록 하여, QoS 기능을 보장한다. 예를 들어 특정 버퍼가 full이 되면 그 버퍼는 이용하는 Connection은 셀 손실률이 급증하게 된다. 그러나 이때 버퍼관리 정보에 따라 최소로 버퍼를 사용하고 있는 곳을 찾아 채널을 다시 설정해 주면, 그 다음 셀 부터는 셀 손실률을 보장할 수 있게 된다.

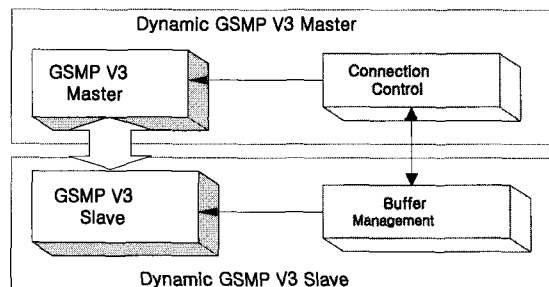


그림 4. Dynamic GSMP V3 모델링 구조

Fig. 4. Proposed architecture of a dynamic GSMP V3.

따라서 본 논문에서는 버퍼관리 기능을 수행할 수 있는 GSMP V3 방식을 제안하였다. 제안한 방식의 기본 구조는 그림 4와 같다. 전체구조는 스위치를 제어하는 master 블록과 master 블록으로부터의 제어 명령을 처리하는 Slave 블록, 그리고 버퍼관리를 통해 셀 전송률을 증가시키는 버퍼관리 블록, 그에 따른 연결관리 제어 블록으로 구성된다. 본 연구에서 제안한 버퍼관리 알고리즘은 qGSMP에서 사용되는 방식을 적용하였다. 기본적으로 하나의 링크는 동일 목적지로 셀을 전송한다고 가정한다. 버퍼 관리 정책으로는 자신의 서비스를 최대한 효율적으로 보장하면서, 트래픽이 집중될 때 그림 5처럼 버퍼의 여유공간의 낭비 없이 서비스를 보장하는 임계치(threshold)를 이용해 버퍼를 제어한다.<sup>[12,13]</sup>

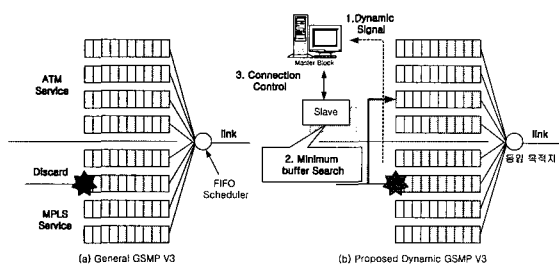


그림 5. 임계치를 이용한 동적 버퍼관리 모델.  
Fig. 5. Connection control using buffer management.

임계치 값 이하 일 때는 동적으로 버퍼 적용을 수행할 수 있도록 하여 다른 서비스에 대한 셀을 효율적으로 전송함으로서 QoS를 보장하고, 이상일 때는 고정적으로 버퍼를 제어함으로서 자신의 서비스에 대한 QoS를 보장하게 한다. 즉 버퍼의 빈 Slot수가 버퍼 임계치보다 크면, 즉 버퍼의 빈 슬롯이 많이 남아있으면, 최소 버퍼를 찾는 버퍼 알고리즘을 적용하여 다른 셀을 전송할 수 있도록 이 버퍼에 대한 동적 신호를 보내고, 그렇지 않으면, 즉 사용할 빈 슬롯의 여유 분이 부족하

```

if (slot_number > buffer_threshold)
    Dynamic signal <= '1';
    최소 버퍼를 찾음.
else if (모든 slot_number > buffer_threshold)
    Static signal <= '1';
else
    Static signal <= '1';
end;

```

면 다른 셀들을 전송하지 못하고 자신의 셀만 처리할 수 있도록 정적 신호를 보낸다. 버퍼 관리 정책은 ATM과 MPLS 자원을 동일 포트에서 이용 시 ATM이나 MPLS 셀에 대한 버퍼 이용률이 폭주할 때 기존의 GSMP V3에서는 폭주된 버퍼로 들어오는 셀들은 그림 5-(a)에서처럼 계속 버리게 되지만, 제안한 구조에서는 스위치 컨트롤러에게 새로운 경로 설정을 위한 Dynamic Signal과 함께 Slave가 찾은 최소 버퍼 경로를 알려주면 스위치 컨트롤러는 포트가 Connection Replace 메커니즘을 지원할 경우 이 메커니즘을 이용해 연결을 재 설정하고 지원이 되지 않으면 Move Output branch 메시지를 이용해 그림 5-(b)처럼 버퍼 용량이 가장 적은 버퍼로 셀을 전송한다. 주요 동작은 위와 같다. 여기서 buffer\_threshold는 버퍼사이즈의 70%에 해당한다. 그림 5와 같은 버퍼관리 정책을 수용한 Dynamic GSMP V3 하드웨어 구조는 그림 6과 같다.

Master 블록은 IP Controller에서 Connection 정보를 GSMP 메시지 패킷으로 만들어 Slave에게 하나 이상의 연결을 설정할 수 있도록 해주는 기능을 수행한다. 또한 Slave 블록으로부터 입력되는 IP 셀을 전송하기 위한 ATM 스위치의 구성 정보나 기타 연결에 관련된 정보를 IP Controller에게 알려주는 기능을 수행한다. 기본적인 구성은 GSMP V3에서 지원하는 크게 7개의 메시지를 처리하는 블록과 최대 22Byte 메시지 길이를 32bit 단위로 전송하기 위한 메시지 입/출력 인터페이스 블록으로 구성되어 있다. 주로 수행되는 기능은 메

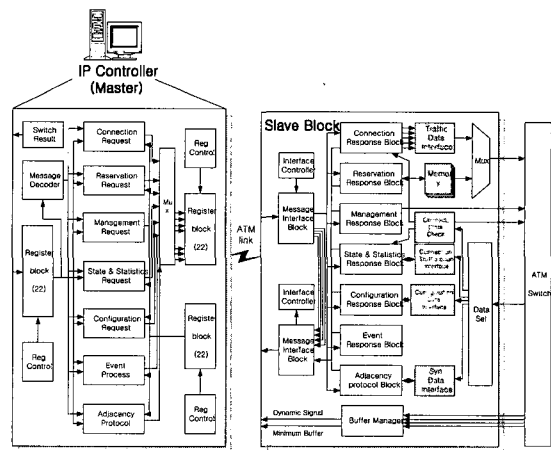


그림 6. Dynamic GSMP V3 하드웨어 모델링 구조  
Fig. 6. Architecture of the dynamic GSMP V3  
H/W.++++++

시지를 전송하기 위한 채널에 대한 동기화 설정 기능과 Connection 설정을 위한 연결 제어 기능을 주로 수행한다. 연결관리 메시지는 스위치 상에 연결을 설정, 해제, 수정하는 메시지로서 7개의 메시지 블록으로 구성된다.

각 메시지의 기능은 아래와 같다.

- ① Add branch: 기존의 connection에 추가적인 연결을 설정하거나 새로운 연결을 설립하는 기능.
- ② Delete Tree: 메시지가 지정하는 연결설정 제거기능.
- ③ Delete All Input and Output: 입출력 상에 연결을 모두 제거하는 기능, 입력되는 모든 셀 제거.
- ④ Delete branch: 하나이상의 branch를 제거하는 기능.
- ⑤ Move Input and Output: 기준의 설정된 연결을 새로운 연결로 이동 설정하는 기능.

Reservation 메시지는 GSMP V3에 새롭게 추가된 기능으로서 연결을 설정하기 전에 스위치 자원들(대역폭, 버퍼, 큐, 레이블)에 대해 특정 연결 예약 기능을 수행하며, Management 메시지는 포트관리와 레이블 범위 관리의 메시지로 구성되며, 포트관리 메시지는 포트에 서비스를 가져오거나 서비스를 없애는 기능, Loop back 기능, Reset 기능, Transmit data rate 조정 기능을 수행한다. 또한 레이블 범위 메시지는 한 포트가 지원하는 레이블의 범위를 수정하는 기능을 수행한다. State와 Statistics 메시지는 스위치 입력과 출력포트 그리고 connection과 관련된 다양한 트래픽 카운터의 값을 요청하는데 사용한다. Configuration 메시지는 스위치, 포트, 서비스 구성 메시지가 있으며, 스위치 구성 메시지는 망 사업자가 망에 맞는 최적의 스위치를 추가 시 스위치 정보를 컨트롤러에게 알리는 기능을 수행하고, 포트 구성 블록은 포트의 구성 정보를 아는데 사용한다. 또한 서비스 구성 블록은 포트나 connection이 지원하는 서비스 정보를 알기 위해 사용한다. Event 메시지는 스위치가 비동기 적인 어떠한 이벤트(Port Up, Port Down,..etc)에 대해서 컨트롤러에게 알리기 위해서 사용한다.

Slave 블록은 Master 블록으로부터 요청된 정보를 받아 먼저 요청한 메시지에 에러가 없는지 또는 요청 메시지를 수행할 수 있는지를 조사하여, 에러가 있거나, 요청 메시지를 수행할 수 없으면 에러 신호와 에러 코드를 포함한 에러 메시지를 Master에게 전송한다. 그렇지 않으면, 요청메시지의 요청을 연결된 스위치 상에서

수행을 한 후 그 결과를 Master 블록에게 알리는 기능을 수행한다. 메시지 인터페이스 블록은 Master 블록 내에 위치한 메시지 인터페이스 블록과 동일한 기능을 수행한다. Slave 블록내의 Connection 블록은 스위치 상에 연결을 설정하거나 해제하는 기능을 수행하며, Connection 데이터를 스위치에 8bit로 전송하기 위해 Traffic Data 인터페이스 블록이 필요하다. ATM 스위치 상에 하나의 Connection을 설정하기 위한 기본 단계는 다음과 같다.

state1 : (32bit Reservation ID = 0)

Connection Message의 요청에 따른 연결정보를 수행.

state2 : (32bit Reservation ID ≠ 0 and

Reservation ID = Reservation memory data)  
Reservation 메시지에 의해 예약된 연결정보를 수행.

state 3 : (Mux select (Reservation ID) )

입.출력 포트나 레이블 및 트래픽 파라미터 정보를 선택해 스위치에 전달 (50byte).

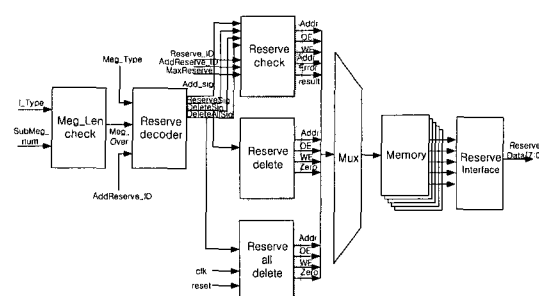


그림 7. Slave내의 Reservation 블록 구조.

Fig. 7. Architecture of the Reservation block.

그림 7과 Slave 블록 내에는 최대 10개의 자원을 예약할 수 있는 메모리가 내장되어 있다. Connect \_State 블록은 요청메시지에 대한 connection<sup>o</sup>] 존재하는지 또는 branch가 존재하는지를 체크한다. 최대 1024개의 connection을 체크할 수 있다. 또한 하나의 연결에 대한 branch 정보를 State and Statistics 블록에 알려줘 connection에 연결된 branch 정보를 Report connection state 메시지를 통해 master 블록에게 알릴 수 있도록 한다.

하나의 connection은 입력포트와 레이블 정보에 의해

설정되고, 하나의 branch는 출력포트와 레이블 정보에 의해 지정된다. 또한 adjacency protocol은 링크상의 상태를 동기화 시키거나 사용하는 프로토콜의 버전이 일치되는지 아는데 사용하거나 링크의 다른 쪽에 있는 entity의 속성을 발견하는데 사용한다. 또한 entity의 속성이 변하는 것을 검출하는데 사용한다. GSMP는 hard state 프로토콜이므로 스위치와 컨트롤러 사이에 연결의 손실을 검출하는데 그리고 스위치나 컨트롤러의 속성의 변화를 검출하는데 중요하다. 하드웨어 구조는 그림 8과 같다. 이 블록은 Slave를 제어하는 Master 블록과 스위치 포트를 제어하는 Slave 블록과 동기화를 설정하는 기능을 수행한다. 이 블록에서는 스위치 컨트롤러의 정보와 동기화를 이룬 후 Slave의 정보를 저장하며, 주기적인 동기화 신호를 보낸다. 이 블록은 입력 메시지가 제대로 들어왔는지 확인하는 CheckSum 블록과 Slave 혹은 Master의 주기적으로 업데이트 되는 정보를 저장하며 그에 따른 처리를 수행하는 Update 블록, 그리고 동기화 절차를 수행하는 Procedure 블록과 동기화가 설정된 후 주기적으로 동기화를 체크하기 위해 주기적인 신호를 보내기 위한 Timer 블록으로 구성되어 있다.

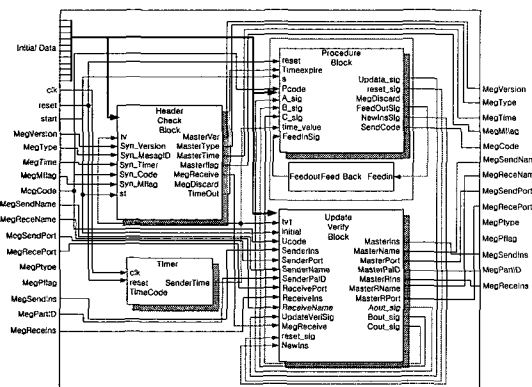


그림 8. Adjacency protocol 블록 구조

Fig. 8. Architecture of the adjacency protocol block.

주요 동작은 다음과 같다. 초기 상태의 state는 항상 "SYNSENT" 상태이다. 상태가 "ESTAB" 상태일 때 링크에 대한 동기화가 설정된다. 상태 변화는 그림 9와 같다.

```

① Timer Expire : Reset Timer
if state = SYNSENT send SYN
if state = SYNRCVD send SYNACK
if state = ESTAB send ACK

② Packet Arrives :
if (incoming message = RSTACK)
    if (A && C && !SYNSENT)
        "Reset the Link"
    else
        "Discard the message"
    end if;
if (incoming message = SYN, SYNACK, ACK)
    "상태표에 따라 응답"
else if (any other GSMP message)
    if (state != ESTAB)
        "Discard incoming message"
    else if (state = SYNSENT)
        "Send SYN"
    else if (state = SYNRCVD)
        "Send SYNACK"
    end if;
end if;

```

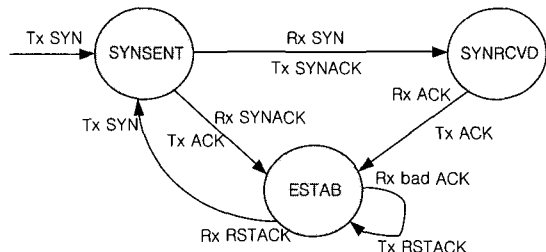


그림 9. Adjacency protocol 동기화 상태도.

Fig. 9. Synchronizes state of an adjacency.

#### IV. 성능 분석 및 시뮬레이션 결과

##### 1. C++를 이용한 실험 및 성능 평가

본 논문에서는 하드웨어 구현에 앞서 제안된 버퍼 관리 알고리즘을 이용한 Dynamic GSMP V3의 모의 실험을 통하여 제안된 알고리즘의 성능 평가를 수행하고 개선된 알고리즘을 바탕으로 하드웨어 구현을 실시하였다. 본 모의 실험에서는 팬티엄 PC 환경 하에서 MicroSoft Visual C++ 6.0을 이용하였으며 IPP 트래픽

모델 및 On/Off 모델을 이용하여 시뮬레이션을 수행하였다. 실험을 위해 각 케이스별로 ATM, MPLS 트래픽으로 분류하였으며, 트래픽 파라미터의 특성은 표 1과 같고 모델링 구조는 그림 10과 같다.

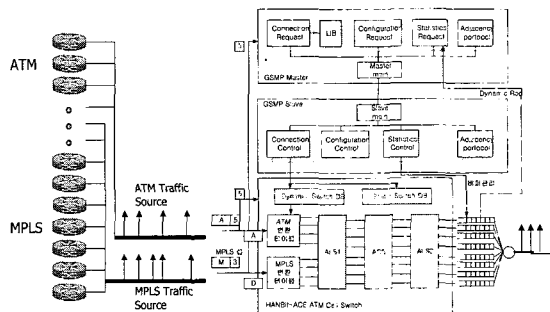


그림 10. Dynamic GSMP V3 테스트 모델링 구조  
Fig. 10. Modeling architecture for GSMP test.

표 1. GSMP의 트래픽 파라미터 조건  
Table 1. Traffic conditions of GSMP.

Class	Class 1		Class 2		Class 3	
Source	MPLS	ATM	MPLS	ATM	MPLS	ATM
지연 민감	○		○			
손실 민감			○		○	
Modelling	VBR(on/off)		VBR(IPP)		VBR(IPP)	
peak_rate	100 cells/s		200 cells/s		400 cells/s	
active_time	0.3 sec		0.1 sec		0.5 sec	
idle_time	0.9 sec		0.7 sec		0.4 sec	
버퍼사이즈			50			
Threshold			35 (버퍼의 70 %)			
Load			0.1 - 1.0			
링크 용량			45Mbps			

총 50개의 단말기로 구성하였다, 따라서 링크 용량은 총 50개의 단말기에서 최대 초당 2122 셀을 발생하므로  $50 \times 2122 \times 424 = 45000000$  이므로 45Mbps가 된다. 총 50개중 각각 25개씩 나누어 MPLS와 ATM 트래픽 모델로 가정하였다. 버퍼에서 링크로의 셀을 출력하는 알고리즘은 간단히 라운드 로빈 방식을 적용하였으며, ATM과 MPLS에 대해 각각 25개씩 트래픽 발생기를 나눈 후 IPP/OnOff를 이용해 트래픽을 발생하도록 구성한 후 GSMP Master 블록에서 헤더정보를 분석 후 레이블 교환 및 채널 설정 정보를 GSMP Slave에 보내주면, 이때 Slave는 이 정보와 함께 버퍼 관리 블록에

서 보내는 버퍼상태에 따른 정보를 이용해 채널 설정 및 재 설정을 수행한다. 이 설정된 채널에 따라 해당 데이터를 전달하게 된다. 성능 비교와 실험 방법의 공정성을 위해서 GSMP V3와 Dynamic GSMP V3도 동일한 트래픽 조건과 threshold를 갖는 상태에서 각각의 로드(load)값을 변화시켜가면서 비교 실험하였다. 버퍼 사이즈나 threshold는 VBR 트래픽 특성에 맞게 시뮬레이션 결과를 통해 설정하였다. 지역이나 지역변화 같은 QoS 파라미터는 GSMP 뒷단인 스위치 출력 포트의 VC-Merge단과 스케줄러에서 수행된다고 가정하였고, 그래서 GSMP 성능 시험에서는 고려하지 않았다.

MPLS 서비스 폭주 시 MPLS 트래픽의 셀 전송 효율을 측정하기 위해 MPLS 트래픽에 대한 Load값을 높게 설정하고 ATM 트래픽에 대한 Load값은 낮게 설정하여 시뮬레이션을 수행하였으며, ATM 서비스 폭주 시 성능 평가를 위해 MPLS 트래픽에 대한 Load값을 낮게 설정하고 ATM 트래픽에 대한 Load값은 높게 설정하여 시뮬레이션을 수행하였다. 그 결과는 그림 11, 12와 같다.

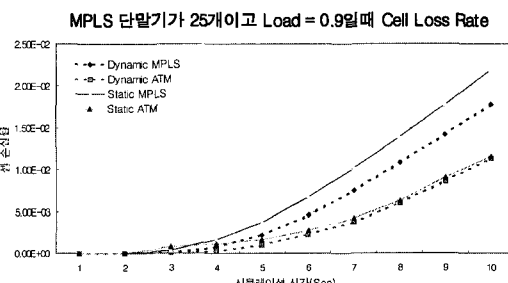


그림 11. MPLS Load가 폭주 시 셀 손실률 비교  
Fig. 11. Cell loss rates with MPLS load 0.9.

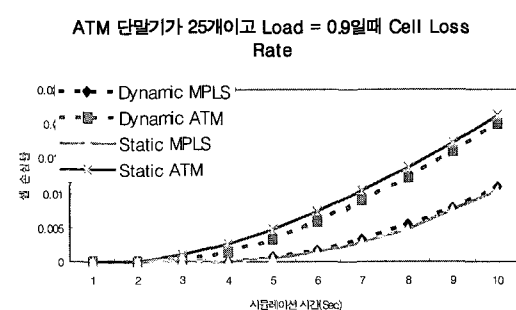


그림 12. ATM Load가 폭주 시 셀 손실률 비교  
Fig. 12. Cell loss rates with ATM load 0.9.

그림 11에서는 MPLS(IP) Cell이 MPLS 버퍼 쪽에 집중될 때 버퍼 관리 방식을 사용하지 않은 기존의 GSMP(Static 방식)와 제안한 동적 분산 버퍼 관리 방식을 사용한 GSMP(Dynamic 방식)를 비교한 결과 ATM의 셀 손실률에서는 거의 차이가 나지 않고 MPLS의 셀 손실률이 향상되는 것을 볼 수 있다. 이는 ATM 서비스의 QoS를 만족하면서 IP 서비스의 전송률이 향상됨을 알 수 있다. 그림 12에서는 ATM 셀이 버퍼에 폭주할 경우의 시뮬레이션 결과로서 MPLS 서비스의 QoS를 보장하면서 ATM 셀에 대한 손실률을 향상시키는 것을 확인할 수 있다.

본 시뮬레이션 결과를 통해 트래픽 발생이 불규칙적이고 실시간을 요하는 VBR 트래픽의 경우에는 버퍼에서의 셀 손실이 예상된다. 그러나 버퍼를 동적으로 제어, 관리함으로서 셀 손실을 줄일 수 있었다.

## 2. 하드웨어 시뮬레이션 및 합성 결과

본 논문에서는 제안한 알고리즘의 타당성 및 성능을 검증하기 위해 소프트웨어 상에서 테스트를 수행하고 이를 바탕으로 하드웨어 구조를 디자인하고 설계하였다. 하드웨어 상의 결과는 소프트웨어 상에서 통상 이루어지는 초당 채널 설정 수에 타이밍 면에서의 성능을 비교하였다. 하드웨어로 구성하여 실험한 결과 하나의 채널을 설정하는데 약 8us가 소요되었고, C++로 구성후 실험한 결과 하나의 채널을 설정하는데 약

1/1000 sec = 1ms 가 소요되었다.

본 연구에서 제안한 Dynamic GSMP V3를 C++를 통한 성능 평가를 바탕으로 하드웨어 Architecture 제안 모델을 설계하고, Synopsys 툴을 이용하여 VHDL 모델링한 후 이를 시뮬레이션을 통해 성능을 검증하고 합성하였다. 각 하위 블록들은 동작적 모델링으로 기술하고, 상위 수준에서는 구조적으로 기술하였다. 구조는 Master 블록 Slave 블록으로 나누어 구현하였으며, 주요 블록들이 하드웨어적으로 제대로 동작하는지의 여부를 검증하였다. 설계는 삼성 KG80 library를 이용하였으며, SADAS 3.2.5 version 툴을 이용하여 레이아웃을 수행하였다. package는 copper\_208QFP를 사용하였다. Slave 블록의 전체 블록 시뮬레이션 결과는 그림 13과 같다. 처음 0 ns에서부터 100 ns 까지는 Slave의 동기 데이터를 Adjacency 블록에 입력된다. 그 후에 Slave에 장착된 스위치의 구성을 알기 위해 Switch, Port, Service 각각의 주소에 의해 32비트 해당 데이터가 입력된다. SwitchSig 신호는 입력되는 스위치 데이터가 어떤 데이터인지를 구분해 주는 신호이다. 각각의 데이터가 초기 데이터가 저장된 후 Master로부터 입력되는 동기화 메시지에 따라 채널 상태가 "4(SYNSENT)"에서 "2(SYNRCVD)"에서 "1(ESTAB)" 상태로 되는 것을 볼 수 있다. 또한 채널 상태가 ESTAB 상태일 때 동기 메시지를 제외한 다른 메시지

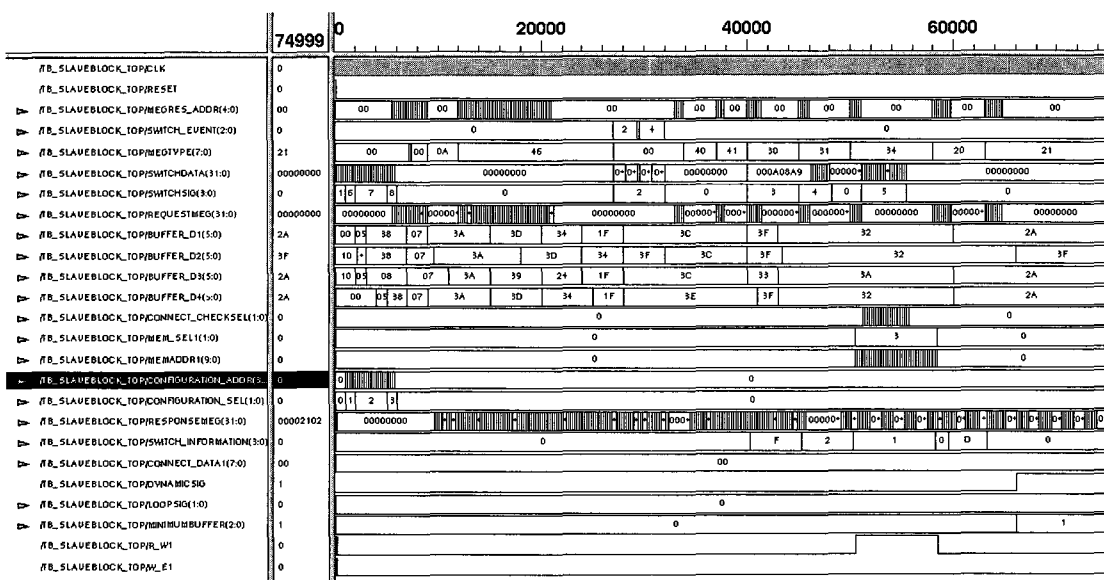


그림 13. Slave 블록 Top 시뮬레이션 결과  
Fig. 13. Simulation result of a slave block.

가 입력되면 출력되는 결과를 확인할 수 있다. 또한 입력되는 메시지에 따라 해당 신호들이 출력되는 것을 나타내고 있다. 또한 4개의 버퍼에서 입력되는 용량을 비교하여 특정 버퍼의 용량이 버퍼 용량을 초과 시 Dynamic 신호를 1로 설정되는 것을 나타낸다.

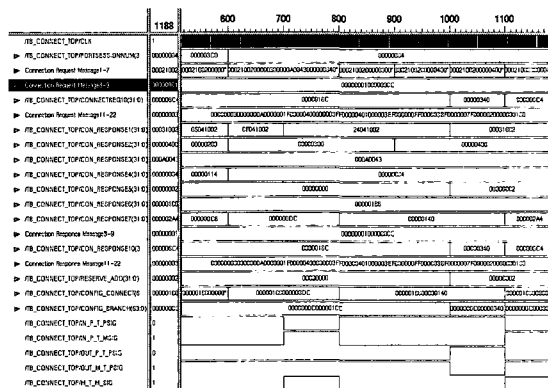


그림 14. Connection Response 블록 시뮬레이션 결과  
Fig. 14. Simulation result of a connection response.

그림 14는 Connection Response 시뮬레이션 결과를 나타낸다. Connect\_Signal 신호를 바탕으로 요청한 포트나 레이블이 있는지 조사하여, 만약 지정된 연결이 없으면 "0003"이 아닌 해당 어레 코드를 Con\_Response 데이터를 통해 출력되는 것을 보여준다. 또한 입력되는 메시지가 P-T-P인지 P-T-M인지 M-T-M인지를 조사하여 스위치에게 신호로 알려 주는 것을 볼 수 있다. 또한 5700 ns 지점에서 Connection 요청에 따라 8비트의 테이터 버스를 통해 연결 정보를 출력하는 것을 볼 수 있다.

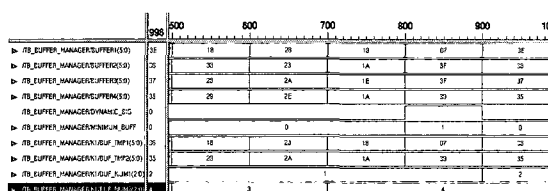


그림 15. Buffer Management 블록 시뮬레이션 결과  
Fig. 15. Simulation result of a buffer management.

그림 15는 Buffer 관리 블록의 시뮬레이션 결과를 나타낸다. 4개의 버퍼로부터 버퍼 사용 버퍼 용량이 입력될 때 어떤 특정 버퍼가 꽉 차면 버퍼관리 알고리즘을 적용하여 Dynamic 신호와 함께 최소 버퍼 경로를 나타내는 것을 볼 수 있다. 그러나 다른 나머지 버퍼도

만약 버퍼 용량의 70% 이상이면 Dynamic 신호를 발생하지 않는다. 그럼 16은 동기화 블록의 시뮬레이션 결과를 보여준다. 먼저 Master 블록으로부터 동기화를 요청하는 코드 "01(SYN)"이 입력되면 Master의 정보를 Slave의 메모리에 저장하고, Slave의 정보와 함께 "02(SYNACK)"로 응답하는 것을 볼 수 있다. 그 다음 "03(ACK)" 신호가 Master로부터 입력되면 입력되는 메시지내의 Slave 정보가 맞는지 확인한 후 "03(ACK)" 신호와 함께 메시지를 출력하는 것을 보여준다. 또한 동기화가 설정된 이후에는 Slave 블록의 동기화 주기마다 메시지를 출력하는 것을 볼 수 있다.

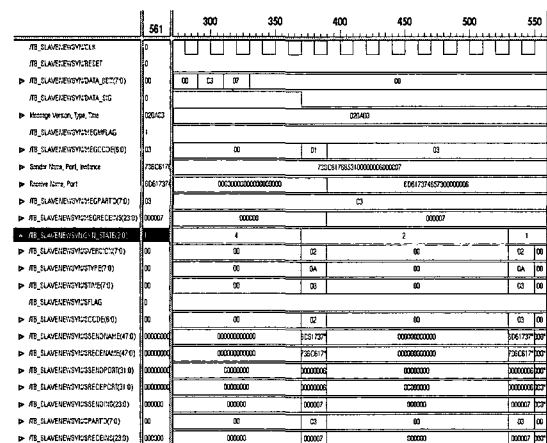


그림 16. Adjacency Protocol 시뮬레이션 결과  
Fig. 16. Simulation result of an adjacency block.

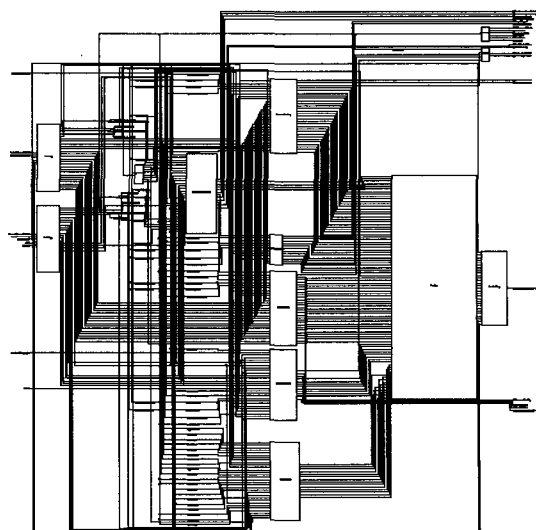


그림 17. Master 블록 합성 결과  
Fig. 17. Synthesis result of master block.

제안한 Dynamic GSMP V3는 삼성 KG-80 라이브러리를 이용해 합성하였을 때, Master 블록의 경우 총 76000개 정도의 게이트가 소요되었으며, Slave 블록은 약 135430개의 게이트가 사용되었으며, kg8324d\_t master 타입에 targeting 되었다. 입력 rise slope과 fall slope는 각각 2ns이며, 출력 load capacitance는 75pF이다. 그림 17은 Master 블록의 합성을 나타내고, 그림 18은 Slave 블록의 합성 결과를 나타낸다.

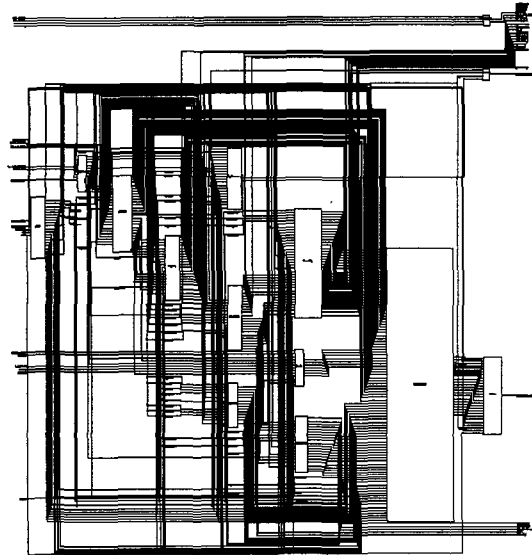


그림 18. Slave 블록 합성 결과

Fig. 18. Synthesis result of slave block.

## V. 결 론

본 논문에서는 MPLS 망에서 ATM 스위칭 방식을 백본 망으로 사용할 경우 ATM 스위치 자원을 통해 IP 서비스를 제공하기 위한 3계층과 2계층의 인터페이스 기능을 수행하는 GSMP V3에 버퍼 관리 알고리즘을 추가한 Dynamic GSMP V3 프로토콜을 구현하였다. Dynamic GSMP V3는 현재 마지막 표준화가 진행중인 GSMP V3에서는 qGSMP가 지원하는 버퍼관리 정책은 제공하지 못하고 있다.

본 논문에서는 ATM 자원(버퍼)을 MPLS 서비스와 ATM 서비스가 공유 시 특정 서비스에 대한 폭주가 발생할 때 발생하는 셀 손실률을 최소 버퍼 알고리즘을 적용하여 효율적으로 버퍼를 제어함으로서 2가지 서비스에 대한 전송 효율이 현재 표준화중인 방식보다 향상됨을 확인하였다. 또한 ATM 기반 MPLS 망에서

ATM 스위치에 Connection을 제어할 때 중요한 인자인 삭제 지연시간에 따른 성능 개선을 위해 고속 인터페이스가 가능한 GSMP V3를 위한 하드웨어 모델을 제안하고, 구현함으로서 GSMP V3의 성능을 향상 할 수 있었다.

본 논문에서 제안된 Dynamic GSMP V3를 MPLS 망에서 사용할 경우 2가지 서비스에 대한 셀 손실률이 보장되므로 다양한 트래픽을 효율적으로 처리할 수 있을 뿐만 아니라 개방형 구조의 GSMP V3 모듈을 통한 다양한 멀티미디어 서비스의 수용을 효율적으로 할 수 있을 것으로 사료된다.

또한 본 논문에서는 버퍼관리 기능을 포함하는 GSMP ASIC 칩 구현에 대한 연구에 비중이 맞추어져 있고, 따라서 칩 Size와 게이트 규모의 제한으로 개별 큐의 길이를 모두 동일한 사이즈로 설정하고 시험 및 구현을 수행하였으나, 향후 동적 큐 길이 방식으로 연구가 계속 진행되어야 한다.

## 참 고 문 헌

- [1] IETF draft: A Framework for Multiprotocol Label Switching, May 1998.
- [2] IETF draft: Multiprotocol Label Switching Architecture, April 1999.
- [3] IETF draft: General Switch Management Protocol V3, August, 2000.
- [4] IETF draft: GSMP Applicability, March 2000.
- [5] RFC 2397: Ipsilon's General Switch Management Protocol Specification, March 1998.
- [6] ATM Forum Technical Committee: Traffic Management Specification Version 4.1, Feb 1999.
- [7] Bruce Davie, paul Doolan, "Switching in IP Networks", Morgan Kaufmann Publishers Inc, 1998.
- [8] 한국전자통신연구원, "ATM상의 인터넷 서비스 기술개론", 진한도서, 1999
- [9] 이재섭, 손명희, 이현숙, "MPLS 기반의 ATM IP 교환기에서의 데이터 패치처리 기술", 한국 통신학회 추계종합학술발표회 논문집, 1998
- [10] 정연쾌, 최명철, 김부일, 이현숙, 이재섭. "ATM

- 교환기 기반 Label Switching Router 구조”, 한국통신학회 추계종합학술발표회 논문집, 1998
- [11] P.Newman, T.Lyon, and G. Minshall, “IP Switching: ATM Under IP,” IEEE/ATM Transactions on Networking.
- [12] Human, J.M., Lazar, A.A. and Pacifici, G., “Real-Time Scheduling with Quality of Service Constraints”, IEEE Journal on Selected Areas in Communications, Vol. 9, September 1991, pp.1052~1063.
- [13] S. G. Min, Y. K. Kim, “Design and Implementation of Multiservice Switch Resource Management Function for Multiservice ATM Switching System,” IEICE ITCCSCC'99, July. 1999.

## 저자소개



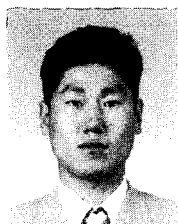
金 永 哲(正會員)

1981년 한양대학교 전자공학과 공학사, 1987년 University of Detroit, EE, 공학석사, 1993년 Michigan State University, EE, 공학박사, 1993 - 현재 전남대학교 전자공학과 부교수, 2000 - 현재 전남대학교 반도체설계교육센터 소장 [주 관심분야 초고속통신망, 인터넷 응용, 회로설계, 보안 칩 개발]



金 光 玉(學生會員)

1999년 조선대학교 정보통신공학과 공학사 2001년 전남대학교 전자공학과 공학석사 2001년- 현재 ETRI 네트워크 기술 연구소 인터넷 기술 연구부 MPLS H/W팀 근무중 [주 관심분야] GSMP, MPLS, 인터넷 응용



李 泰 元(學生會員)

1993년 전남대학교 전자공학과 공학사, 1999년 전남대학교 전자공학과 공학석사, 1999년 - 현재 전남대학교 전자공학과 박사과정. [주 관심분야] 초고속통신망, 회로설계